

# РАСПРОСТРАНЕНИЕ, ДИФРАКЦИЯ И РАССЕЯНИЕ ЭЛЕКТРОМАГНИТНЫХ ВОЛН

УДК 537.874.6

М. Е. КАЛИБЕРДА<sup>1</sup>, Л. Н. ЛИТВИНЕНКО<sup>2</sup>, С. А. ПОГАРСКИЙ<sup>1</sup>

PACS number: 41.20.Jb

<sup>1</sup> Харьковский национальный университет имени В. Н. Каразина,  
пл. Свободы, 4, г. Харьков, 61022, Украина  
E-mail: Sergey.A.Pogarsky@univer.kharkov.ua

<sup>2</sup> Радиоастрономический институт НАН Украины,  
ул. Краснознаменная, 4, г. Харьков, 61002, Украина

## ОПЕРАТОРНЫЙ МЕТОД В ЗАДАЧЕ О ВЗАИМОДЕЙСТВИИ ПОЛУБЕСКОНЕЧНОЙ РЕШЕТКИ ТИПА ЖАЛЮЗИ И КОНЕЧНОЙ ЛЕНТОЧНОЙ РЕШЕТКИ

*Рассмотрена задача о взаимодействии полубесконечной периодической решетки типа жалюзи и конечной ленточной решетки. Исследован случай Н-поляризации. Решение задачи получено операторным методом. При этом использованы известные операторы отражения полубесконечной решетки типа жалюзи и плоской конечной решетки. Приведены зависимости отраженного поля в дальней зоне от полярного угла.*

*Ключевые слова:* полубесконечная решетка типа жалюзи, конечная ленточная решетка, операторный метод

### 1. Введение

Задачи дифракции волн на полубесконечных решетках с различной геометрией рассеивателей представляют несомненный интерес. Важно, что модель полубесконечной структуры обладает существенной особенностью по сравнению с моделью бесконечной структуры, поскольку она позволяет описать поле, отраженное от края реальной конечной решетки. Существует большое количество работ, в которых решались подобные задачи различными методами [1–21]. Подробный обзор методов приведен в работе [19]. Однако не меньший интерес могут представлять задачи о взаимодействии полубесконечных решеток и конечных систем рассеивателей.

В настоящей работе рассмотрена задача о взаимодействии полубесконечной решетки типа жалюзи и конечной ленточной решетки. Решение получено операторным методом. При применении операторного метода были исполь-

зованы операторы отражения полубесконечной и конечной решеток. Оператор отражения полубесконечной решетки типа жалюзи также был найден операторным методом [21], а конечной решетки – методом сингулярных интегральных уравнений [22].

### 2. Постановка задачи

Расположим полубесконечную периодическую решетку типа жалюзи в области  $z \leq -h_1$ . Первая лента лежит в плоскости  $z = -h_1$ , и ее середина отстоит от оси  $Oz$  на величину  $\Delta_1$ . Каждая следующая  $n$ -я лента полубесконечной решетки располагается в плоскости  $z = -h_1 - h(n-1)$  так, чтобы  $y$ -координаты середин соседних лент отличались на величину  $\Delta$ ,  $n \geq 1$ . Период решетки равен  $l$ . Обозначим половину ширины лент как  $d$ . Расположим конечноэлементную ленточную решетку в плоскости  $z = 0$ . Геометрия структуры представлена на рис. 1 для случая, когда в плоскости  $z = 0$  расположена одиночная лента ширины  $2d_1$ . Структура однородна вдоль оси  $Ox$ .

© М. Е. Калиберда, Л. Н. Литвиненко, С. А. Погарский, 2015

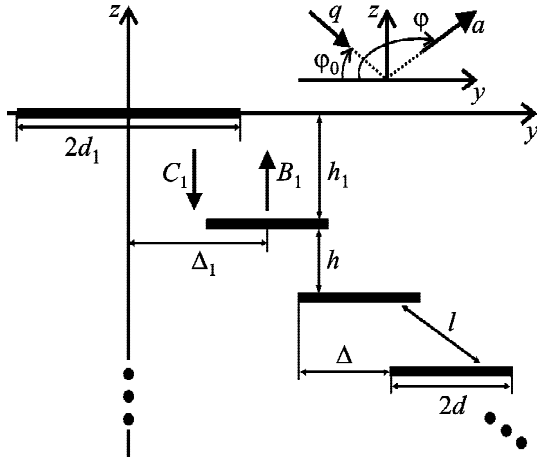


Рис. 1. Геометрия исследуемой структуры

Пусть на структуру из области  $z > 0$  падает  $H$ -поляризованная волна со спектральной функцией  $q(\zeta)$ ,

$$H_x^{inc}(y, z) = \int_{-\infty}^{\infty} q(\zeta) \exp(ik\zeta y - ik\gamma(\zeta)z) d\zeta, \quad (1)$$

где  $k$  – волновое число,  $\gamma(\zeta) = \sqrt{1 - \zeta^2}$ ,  $\text{Re} \gamma \geq 0$ ,  $\text{Im} \gamma \geq 0$ . Отраженное поле (в области  $z > 0$ ) и поле между конечной и полубесконечной решеткой (в области  $-h_1 < z < 0$ ) представим в виде:

$$H_x^{refl}(y, z) = \int_{-\infty}^{\infty} a(\zeta) \exp(ik\zeta y + ik\gamma(\zeta)z) d\zeta,$$

$z > 0$ ;

$$H_x(y, z) = \int_{-\infty}^{\infty} C(\zeta) \exp(ik\zeta y - ik\gamma(\zeta)z) d\zeta + \int_{-\infty}^{\infty} B(\zeta) \exp(ik\zeta(y - \Delta_1) + ik\gamma(\zeta)(z + h_1)) d\zeta,$$

$-h_1 < z < 0$ ;

где  $a(\zeta)$  – спектральная функция отраженного поля, а  $C(\zeta)$  и  $B(\zeta)$  – спектральные функции поля между конечной и полубесконечной решетками.

Обозначим оператор отражения полубесконечной решетки как  $R^1$ , операторы прохождения и отражения конечной решетки как  $t$  и  $r$ , а неизвестный оператор отражения всей структуры как  $R^2$ . Действие этих операторов на спек-

тральную функцию падающего поля (1) описывается следующими формулами:

$$(R^1 q)(\xi) = \int_{-\infty}^{\infty} R^1(\xi, \zeta) q(\zeta) d\zeta,$$

$$(tq)(\xi) = \int_{-\infty}^{\infty} t(\xi, \zeta) q(\zeta) d\zeta,$$

$$(rq)(\xi) = \int_{-\infty}^{\infty} r(\xi, \zeta) q(\zeta) d\zeta,$$

$$a(\xi) = (R^2 q)(\xi) = \int_{-\infty}^{\infty} R^2(\xi, \zeta) q(\zeta) d\zeta, \quad (2)$$

причем

$$tq = q - rq. \quad (3)$$

### 3. Операторные уравнения

Спектральные функции отраженного поля и поля между конечной и полубесконечной решеткой связаны следующими операторными уравнениями:

$$a = rq + ts_1^- e_1 B_1. \quad (4)$$

$$C_1 = tq + rs_1^- e_1 B_1. \quad (5)$$

$$B_1 = R^1 s_1^+ e_1 C_1. \quad (6)$$

Оператор  $e_1$  определяет изменение амплитуд поля при смещении системы координат на величину  $h_1$  вдоль направления распространения поля. Операторы  $s_1^\pm$  определяют изменение амплитуд поля при смещении системы координат на величину  $\Delta_1$  в положительном или отрицательном направлении оси  $Oy$ . Их действие на произвольную функцию  $g(\xi)$  сводится к умножению на экспоненту:

$$(e_1 g)(\xi) = \exp(ikh_1 \gamma(\xi)) g(\xi),$$

$$(s_1^\pm g)(\xi) = \exp(\pm ik\Delta_1 \xi) g(\xi).$$

Подставив выражение для  $C_1$  (5) в уравнение (6) и, воспользовавшись равенствами (3), (4), получим:

$$a = rq + s_1^- e_1 B_1 - rs_1^- e_1 B_1, \quad (7)$$

$$B_1 = R^1 s_1^+ e_1 q - R^1 s_1^+ e_1 rq + R^1 s_1^+ e_1 rs_1^- e_1 B_1. \quad (8)$$

Ядро  $R^1(\xi, \zeta)$  оператора  $R^1$  может иметь особенности в точках, совпадающих с нулями функции  $f(\xi, \zeta) = 1 - \exp(ik(\Delta(\zeta - \xi) + h(\gamma(\xi) + \gamma(\zeta))))$ . Для каждого фиксированного значения  $\xi$  функция  $f(\xi, \zeta)$  может иметь  $N_\xi$  нулей (по переменной  $\zeta$ ). Обозначим эти нули как  $\zeta_m(\xi)$ ,  $m = 1, \dots, N_\xi$ . Но и для каждого фиксированного значения  $\zeta$  функция  $f(\xi, \zeta)$  может иметь  $N_\zeta$  нулей (по переменной  $\xi$ ). Обозначим эти нули как  $\xi_m(\zeta)$ ,  $m = 1, \dots, N_\zeta$ . Появление особенностей связано с тем, что поле, отраженное полубесконечной решеткой, может быть представлено в виде суперпозиции полей с дискретным (плоские волны) и непрерывным (цилиндрическая волна) спектром. Постоянные распространения плоских волн соответствуют точкам, в которых ядро оператора  $R^1$  имеет особенности.

Для устранения особенностей необходимо провести процедуру регуляризации, которая заключается в том, что к подынтегральной функции, содержащей особенности, прибавляется такая функция, что их сумма особенностей не имеет, и результирующий интеграл может быть вычислен с использованием квадратурных формул. Такой интеграл описывает поле с непрерывным спектром. Интеграл от добавленной функции вычисляется аналитически и представляется в виде ряда, который описывает поле с дискретным спектром. Чтобы сохранилось тождество, эта же функция и отнимается от исходного выражения.

Спектральная функция  $B_1$  может быть найдена из выражения (8), в правой части которого только первое слагаемое  $R^1 s_1^+ e_1 q$  может содержать особенности, а два остальных являются регулярными. Вычтем из  $B_1$  слагаемое, содержащее особенности. Введем оператор  $B$ ,

$$Bq = B_1 - R^1 s_1^+ e_1 q, \quad (9)$$

который особенностей не имеет. Введем оператор  $R_2$ ,

$$R_2 = R^2 - s_1^- e_1 R_1 e_1 s_1^+. \quad (10)$$

Выразив  $B_1$  через  $Bq$  из (9), подставив в (7) и воспользовавшись равенством (2), находим, что оператор  $R_2$  также не имеет особенностей.

После преобразований (7), (8) с использованием (9) можно получить выражения для определения спектральной функции отраженного поля:

$$a = r q + s_1^- e_1 R^1 s_1^+ e_1 q + s_1^- e_1 B q - r s_1^- e_1 B q - r s_1^- e_1 F_0 R_1 s_1^+ e_1 q, \quad (11)$$

$$B = (I - R_1 F s_1^+ e_1 r s_1^- e_1)^{-1} (R_1 F s_1^+ e_1 r s_1^- e_1 F_0 R_1 s_1^+ e_1 - R_1 F s_1^+ e_1 r), \quad (12)$$

где оператор

$$R_1 = R^1 - s^- e R^1 e s^+$$

особенностей не имеет,  $I$  – единичный оператор, а операторы  $F_0$  и  $F$  – регуляризирующие. Их явный вид приведен в [21]. Действие операторов  $e$ ,  $s^\pm$  на произвольную функцию  $g(\xi)$  описывается выражениями:

$$(eg)(\xi) = \exp(ikh\gamma(\xi))g(\xi),$$

$$(s^\pm g)(\xi) = \exp(\pm ik\Delta\xi)g(\xi).$$

Из (11), используя (2) и (10), можно получить выражение для определения регулярной части оператора отражения всей структуры:

$$R_2 = r + s_1^- e_1 B - r s_1^- e_1 B - r s_1^- e_1 F_0 R_1 s_1^+ e_1,$$

где оператор  $B$  может быть определен из (12).

#### 4. Выражения для отраженного поля

Запишем выражения для отраженного поля, пригодные для получения численных результатов. Ввиду того, что ядро оператора отражения всей структуры  $R^2$  имеет особенности, для вычисления поля также необходимо проведение процедуры регуляризации. Используя (10), запишем ядро оператора  $R^2$  в виде

$$R^2(\xi, \zeta) = \left[ f(\xi, \zeta) R_2(\xi, \zeta) + \exp(ik(\Delta_1(\zeta - \xi) + h_1(\gamma(\xi) + \gamma(\zeta)))) R_1(\xi, \zeta) \right] \times [f(\xi, \zeta)]^{-1} \quad (13)$$

и введем оператор  $R$ , ядро которого совпадает с выражением, стоящим в числителе в (13). Тогда отраженное поле может быть найдено по формуле

$$H_x^{refl}(y, z) = (GF_0 R q)(y, z), \quad (14)$$

где оператор  $G$  действует на произвольную функцию  $g(\xi)$  следующим образом:

$$(Gg)(y, z) = \int_{-\infty}^{\infty} g(\xi) \exp(ik\xi y + ik\gamma(\xi)z) d\xi.$$

Выражение (14) пригодно для вычисления отраженного поля в любой точке пространства, однако оно содержит интеграл от быстро осциллирующей функции. В случае, когда точка наблюдения находится достаточно далеко от решетки, целесообразно использовать асимптотическое выражение, полученное методом перевала [23].

Пусть на решетку падает плоская волна под углом  $\varphi_0$  к оси  $Oy$ . Тогда поле в дальней зоне,  $k\rho \rightarrow \infty$ , можно представить в виде суммы трех слагаемых:

$$H_x^{ref}(\varphi, \rho) \cong H_x^F(\varphi, \rho) + H_x^c(\varphi, \rho) + H_x^{erfc}(\varphi, \rho),$$

$$\rho \rightarrow \infty.$$

Здесь слагаемое

$$H_x^F(\varphi, \rho) = 2\pi i \sum_{l=1}^N \varepsilon_l(\theta) R(\xi_l(\zeta_0), \zeta_0) \cos(\omega_l) \times$$

$$\times \lim_{\omega' \rightarrow \omega_l} \left( \frac{\omega' - \omega_l}{f(\sin \omega', \zeta_0)} \right) \exp(ik\rho \cos(\theta - \omega_l))$$

представляет собой множество плоских волн и не убывает при  $k\rho \rightarrow \infty$ ,

$$\varepsilon_l(\theta) = \begin{cases} 0, & \theta < \omega_l; \\ 1, & \theta > \omega_l. \end{cases}$$

Множитель  $\varepsilon_l(\theta)$  возникает ввиду того, что поле отраженной плоской волны отлично от нуля не во всем полупространстве  $\varphi \in (0; \pi)$ , а только в области  $\theta > \omega_l$ . Второе слагаемое

$$H_x^c(\varphi, \rho) = \frac{\exp\left(ik\rho - \frac{\pi i}{4}\right)}{\sqrt{k\rho}} \sqrt{\frac{\pi}{2}} \left[ \frac{2R(\sin \theta, \zeta_0)}{f(\sin \theta, \zeta_0)} \cos \theta + \right.$$

$$\left. + \sum_{l=1}^N \frac{R(\sin \omega_l, \zeta_0) \cos(\omega_l)}{\sin \frac{\omega_l - \theta}{2}} \lim_{\omega' \rightarrow \omega_l} \left( \frac{\omega' - \omega_l}{f(\sin \omega', \zeta_0)} \right) \right]$$

описывает цилиндрическую волну, рассеянную краем решетки. Модуль этого слагаемого убывает как  $1/\sqrt{k\rho}$  при  $k\rho \rightarrow \infty$ . Третье слагаемое

$$H_x^{erfc}(\varphi, \rho) = i\pi \exp\left(ik\rho - \frac{\pi i}{4}\right) \sum_{l=1}^N \operatorname{sgn}(\omega_l - \theta) \times$$

$$\times \exp\left(-2ik\rho \left(\sin \frac{\theta - \omega_l}{2}\right)^2\right) \times$$

$$\times R(\sin \omega_l, \zeta_0) \cos(\omega_l) \lim_{\omega' \rightarrow \omega_l} \left( \frac{\omega' - \omega_l}{f(\sin \omega', \zeta_0)} \right) \times$$

$$\times \left( \frac{1+i}{\sqrt{2}} - \sqrt{2}C(x) - \sqrt{2}iS(x) \right)$$

учитывает вклад полюсов имеет вид плоских волн и обеспечивает равномерную непрерывность поля при  $\rho \rightarrow \infty$ . Здесь  $N$  – число распространяющихся плоских волн, если  $h \neq 0$  (случай не плоской полубесконечной решетки), то  $N = N_{\zeta_0}$ ;

$x = 2\sqrt{\frac{k\rho}{\pi}} \sin \left| \frac{\omega_l - \theta}{2} \right|$ ;  $\omega_l = \arcsin \xi_l(\zeta_0)$  – угол, под которым распространяется отраженная плоская волна, отсчитываемый от оси  $Oz$ ,  $\zeta_0 = \cos \varphi_0$ ;  $\theta = \varphi - 90^\circ$  – угол падения плоской волны, отсчитываемый от оси  $Oz$ ;  $(\rho, \varphi)$  – координаты точки наблюдения в полярной системе координат;  $C(x) = \int_0^x \cos\left(\frac{\pi}{2}t^2\right) dt$ ,  $S(x) = \int_0^x \sin\left(\frac{\pi}{2}t^2\right) dt$  – интегралы Френеля.

## 5. Численные результаты

Используя представленный выше алгоритм, проведем исследование характеристик отраженного поля.

В плоскости  $z = 0$  разместим одиночную ленту ширины  $2d_1$  так, чтобы ось  $Oy$  пересекала ее посередине (см. рис. 1). На рис. 2, а, б представлены зависимости функции  $|H_x^c(\varphi, \rho)|$  от угла  $\varphi$  при различных значениях угла падения плоской волны единичной амплитуды  $\varphi_0$  и смещения  $\Delta_1$ . Параметры структуры:  $k\rho = 30$ ;  $kd = kd_1 = \pi/2$ , ( $d = d_1 = \lambda/4$ );  $k\Delta = \pi/2$ ;  $kh = kh_1 = 1$ , ( $kl = 1.86$ ), – выбраны таким образом, что только одна плоская волна может распространяться от решетки. При  $\Delta = \Delta_1$  графики зависимостей для полубесконечной решетки и исследуемой в работе решетки совпадают. При  $\varphi_0 = 90^\circ$  и  $k\Delta_1 \leq \pi/2$  в зависимостях наблюдается один максимум, при

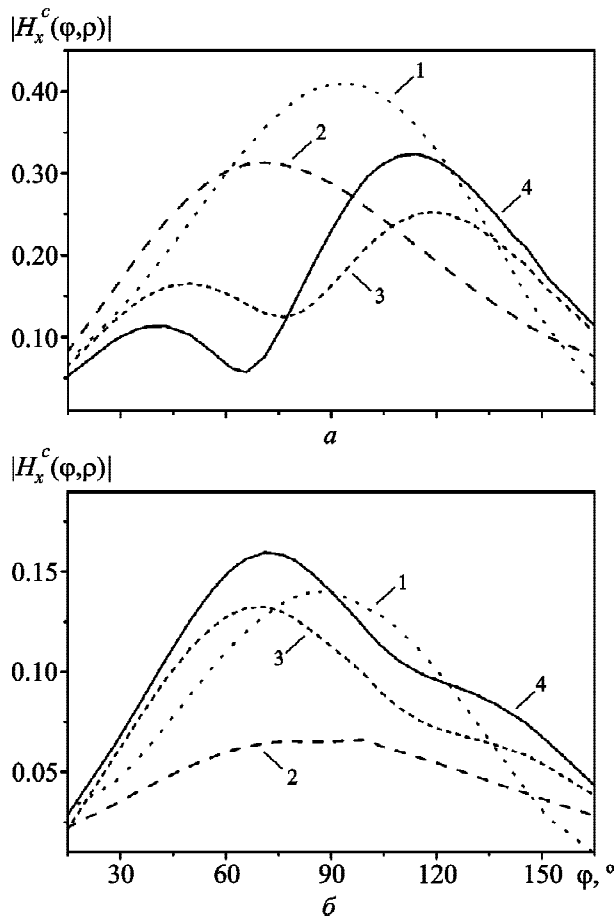


Рис. 2. Зависимости функции  $|H_x^c(\varphi, \rho)|$  от угла  $\varphi$  при  $k\rho = 30$ ;  $kd = kd_1 = \pi/2$ , ( $d = d_1 = \lambda/4$ );  $k\Delta = \pi/2$ ;  $kh = kh_1 = 1$ , ( $kl = 1.86$ ): а –  $\varphi_0 = 90^\circ$ ; б –  $\varphi_0 = 154^\circ$ . Кривые 1 –  $k\Delta_1 = 0$ , кривые 2 –  $k\Delta_1 = \pi/2$ , кривые 3 –  $k\Delta_1 = 3\pi/4$ , кривые 4 –  $k\Delta_1 = \pi$

$k\Delta_1 \geq 3\pi/4$  их уже два. Дальнейшее увеличение значения  $k\Delta_1$  приводит к появлению дополнительных максимумов. Такое поведение характерно для диаграммы направленности решеток, состоящих из двух лент, при увеличении расстояния между лентами.

Величина  $|H_x^F(\varphi, \rho)|$  не меняется при изменении  $k\Delta_1$ . Это связано с тем, что она определяет вклад только плоской волны в рассеянное поле, а модуль амплитуды плоской волны зависит исключительно от свойств полубесконечной решетки (см. (10), (13)). При  $\varphi_0 = 90^\circ$  величина  $|H_x^F(\varphi, \rho)| \approx 0.37$ , угол распространения отраженной плоской волны  $\omega_1 + 90^\circ \approx 155^\circ$ . При  $\varphi_0 = 154^\circ$  она составляет  $|H_x^F(\varphi, \rho)| \approx 0.4$  и  $\omega_1 + 90^\circ \approx 90^\circ$ . Здесь угол  $\varphi > \pi/2 + \omega_1$ .

На рис. 3 представлены зависимости функции  $|H_x^c(\varphi, \rho) + H_x^{erfc}(\varphi, \rho)|$  от угла  $\varphi$  при  $k\Delta_1 = 0$  для двух значений угла падения:  $\varphi_0 = 90^\circ$  (сплошная кривая 1) и  $\varphi_0 = 154^\circ$  (сплошная кривая 2). Параметры структуры выбраны такими же, как для расчета зависимостей на рис. 2. Для сравнения пунктирными кривыми показаны зависимости функции  $|H_x^c(\varphi, \rho)|$  от  $\varphi$ . Графики зависимостей  $|H_x^c(\varphi, \rho)|$  и  $|H_x^c(\varphi, \rho) + H_x^{erfc}(\varphi, \rho)|$  приблизительно совпадают при  $|\varphi - (90^\circ + \omega_1)| \gg 0$ , т. е. функция  $|H_x^{erfc}(\varphi, \rho)|$  в этом случае мала. При значениях угла  $\varphi$ , приближающихся к  $90^\circ + \omega_1$ , существенное влияние на график зависимости  $|H_x^c(\varphi, \rho) + H_x^{erfc}(\varphi, \rho)|$  оказывает распространяющаяся плоская волна.

Выберем в качестве конечной решетку, состоящую из двух лент равной ширины. Половину ширины каждой ленты обозначим как  $d_1$ , расстояние между лентами –  $\delta$ . Расположим систему координат так, чтобы ось  $Oz$  пересекала середину щели между лентами (см. рис. 4). На рис. 5 представлены зависимости функции  $|H_x^c(\varphi, \rho)|$  от угла  $\varphi$  при  $k\rho = 30$ ;  $kd_1 = \pi/4$ , ( $d_1 = \lambda/8$ );  $k\delta = \pi/2$ ;  $kd = \pi/2$ ;  $k\Delta = \pi/2$ ;  $kh = kh_1 = 1$ . Параметры полубесконечной решетки выбраны такими же, как при получении графиков функций, изображенных на рис. 2 и рис. 3. Вид зависимостей на рис. 5 сходен с зависимостями, пред-

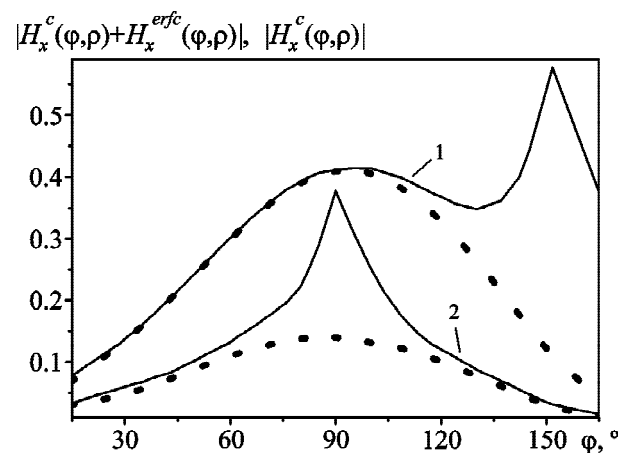


Рис. 3. Зависимости функций  $|H_x^c(\varphi, \rho) + H_x^{erfc}(\varphi, \rho)|$  (сплошные кривые) и  $|H_x^c(\varphi, \rho)|$  (пунктирные кривые) от угла  $\varphi$  при  $k\Delta_1 = 0$ ;  $k\rho = 30$ ;  $kd = kd_1 = \pi/2$ , ( $d = d_1 = \lambda/4$ );  $k\Delta = \pi/2$ ;  $kh = kh_1 = 1$ , ( $kl = 1.86$ ) для двух значений угла падения:  $\varphi_0 = 90^\circ$  (кривые 1) и  $\varphi_0 = 154^\circ$  (кривые 2)

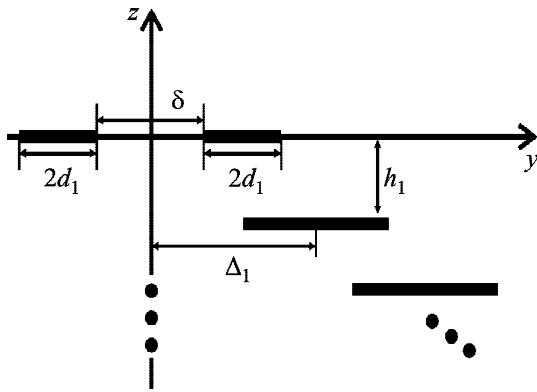


Рис. 4. Конечная решетка из двух лент и полубесконечная решетка

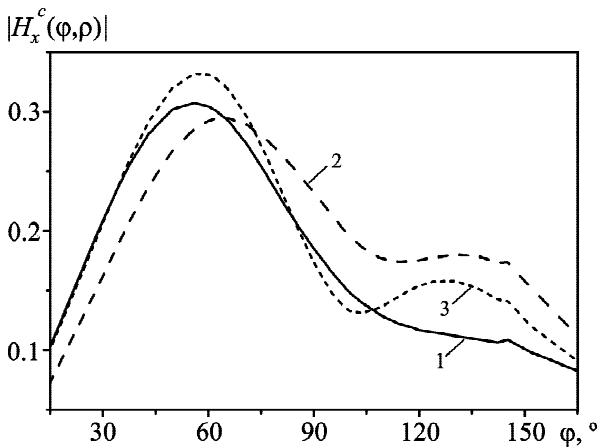


Рис. 5. Зависимости функции  $|H_x^c(\varphi, \rho)|$  от угла  $\varphi$  при  $k\rho = 30$ ;  $kd_1 = \pi/4$ , ( $d_1 = \lambda/8$ );  $k\delta = \pi/2$ ;  $kd = \pi/2$ ;  $k\Delta = \pi/2$ ;  $kh = kh_1 = 1$ . Кривая 1 –  $k\Delta_1 = 0$ , кривая 2 –  $k\Delta_1 = \pi/2$ , кривая 3 –  $k\Delta_1 = 3\pi/4$

ставленными на рис. 2. Дополнительные максимумы на кривых появляются при меньших значениях параметра  $k\Delta_1$ , чем в случае, представленном на рис. 2.

## 6. Выводы

В работе построено решение задачи о взаимодействии полубесконечной периодической решетки типа жалюзи и конечной ленточной решетки. Получено операторное уравнение относительно оператора отражения системы, состоящей из конечной и полубесконечной решеток. Проведено численное исследование поля цилиндрической волны, рассеянное краем структуры. Предложенный подход может быть эффективным при решении задач антенной техники и для создания метаматериалов.

## СПИСОК ЛИТЕРАТУРЫ

1. Фельд Я. Н. О бесконечных системах линейных алгебраических уравнений, связанных с задачами о полубесконечных периодических структурах // Доклады АН СССР. – 1955. – Т. 102, № 2. – С. 257–260.
2. Фельд Я. Н. Дифракция электромагнитной волны на полубесконечной решетке // Радиотехника и электроника. – 1958. – Т. 3, № 7. – С. 882–889.
3. Hills N. L. and Karp S. N. Semi-Infinite Diffraction Gratings. I // Commun. Pure Appl. Math. – 1965. – Vol. 18, No. 1/2. – P. 203–233.
4. Hills N. L. Semi-Infinite Diffraction Gratings. II. Inward Resonance // Commun. Pure Appl. Math. – 1965. – Vol. 18, No. 3. – P. 385–395.
5. Wasylkiwskyj W. Mutual Coupling Effects in Semi-Infinite Arrays // IEEE Trans. Antennas Propag. – 1973. – Vol. 21, No. 3. – P. 277–285. DOI: 10.1109/TAP.1973.1140507
6. Nishimoto M. and Ikuno H. Analysis of Electromagnetic Wave Diffraction by a Semi-Infinite Strip Grating and Evaluation of End-Effects // Progr. Electromagn. Res. (PIER) – 1999. – Vol. 23. – P. 39–58. DOI: 10.1163/156939399X01177
7. Linton C. M. and Martin P. A. Semi-Infinite Arrays of Isotropic Point-Scatterers. A Unified Approach // SIAM J. Appl. Math. – 2004. – Vol. 64. – P. 1035–1056. DOI: 10.1137/S0036139903427891
8. Nepa P., Manara G., and Armogida A. EM Scattering From the Edge of a Semi-Infinite Planar Strip Grating Using Approximate Boundary Conditions // IEEE Trans. Antennas Propag. – 2005. – Vol. 53, No. 1. – P. 82–90. DOI: 10.1109/TAP.2004.840523
9. Linton C. M., Porter R., and Thompson I. Scattering by a Semi-Infinite Periodic Array and the Excitation of Surface Waves // SIAM J. Appl. Math. – 2007. – Vol. 67, No. 5. – P. 1233–1258. DOI: 10.1137/060672662
10. Caminita F., Nannetti M., and Maci S. An Efficient Approach to the Solution of a Semi-Infinite Strip Grating Printed on Infinite Grounded Slab Excited by a Surface Wave // XXIX URSI General Assembly August 7-13, 2008. – Chicago, IL (USA). – 2008. – BPS 2.5.
11. Capolino F. and Albani M. Truncation Effects in a Semi-Infinite Periodic Array of Thin Strips: A Discrete Wiener-Hopf Formulation // Radio Sci. – 2009. – Vol. 44. – P. 1223–1234. DOI: 10.1029/2007RS003821
12. Cho Y. H. Arbitrarily Polarized Plane-Wave Diffraction from Semi-Infinite Periodic Grooves and Its Application to Finite Periodic Grooves // Progr. Electromagn. Res. M (PIER M) – 2011. – Vol. 18. – P. 43–54. DOI: 10.2528/PIERM11030111
13. Литвиненко Л. М., Резник И. И., Литвиненко Д. Л. Дифракция хвиль на напівнескінченних періодичних структурах // Доповіді АН УРСР. – 1991. – № 6. – С. 62–66.
14. Lytvynenko L. M. and Prosvirnin S. L. Wave Diffraction by Periodic Multilayer Structures. – Cambridge: Cambridge Scientific Publishers, 2012. – 158 p.
15. Kaliberda M. E., Litvinenko L. N., and Pogarskii S. A. Operator Method in the Analysis of Electromagnetic Wave Diffraction by Planar Screens // J. Commun. Technol. Electron. – 2009. – Vol. 54, No. 9. – P. 975–981. DOI: 10.1134/S1064226909090010
16. Kaliberda M. E., Lytvynenko L. N., and Pogarsky S. A. Electrodynamic Characteristics of Multilayered System

- of Plane Screens with a Slot // *Radio Physics and Radio Astronomy*. – 2011. – Vol. 2, Is. 4. – P. 339–344.
17. Lytvynenko L. M., Kaliberda M. E., and Pogarsky S. A. Solution of Waves Transformation Problem in Axially Symmetric Structures // *Frequenz*. – 2012. – Vol. 66, No. 1-2. – P. 17–25. DOI: 10.1515/FREQ.2012.012
  18. Vorobyov S. N. and Lytvynenko L. M. Electromagnetic Wave Diffraction by Semi-Infinite Strip Grating // *IEEE Trans. Antennas Propag.* – 2011. – Vol. 59, No. 6. – P. 2169–2177. DOI: 10.1109/TAP.2011.2143655
  19. Kaliberda M. E., Lytvynenko L. N., and Pogarsky S. A. Diffraction of H-polarized electromagnetic waves by a multi-element planar semi-infinite grating // *Telecommunications and Radio Engineering*. – 2015. – Vol. 74, No. 9. – P. 348–357. DOI: 10.1615/TelecomRadEng.v74.i9
  20. Kaliberda M. E. and Pogarsky S. A. Operator method in a plane waveguide eigenmodes diffraction problem by finite and semiinfinite system of slots // *Int. Conf. on Mathematical Methods in Electromagnetic Theory (MMET) – Kharkiv (Ukraine)*. – 2012. – P. 130–133.
  21. Lytvynenko L. M., Kaliberda M. E., and Pogarsky S. A. Wave Diffraction by Semi-Infinite Venetian Blind Type Grating // *IEEE Trans. Antennas Propag.* – 2013. – Vol. 61, No. 12. – P. 6120–6127. DOI: 10.1109/TAP.2013.2281510
  22. Nosich A. A. and Gandel Y. V. Numerical Analysis of Quasioptical Multireflector Antennas in 2-D with the Method of Discrete Singularities: E-Wave Case // *IEEE Trans. Antennas Propag.* – 2007. – Vol. 55, No. 2. – P. 399–406. DOI: 10.1109/TAP.2006.889811
  23. Felsen L. B. and Marcuvitz N. *Radiation and Scattering of Waves*. – Englewood Cliffs, NJ: Prentice-Hall, 1973. – 888 p.
- grating using approximate boundary conditions. *IEEE Trans. Antennas Propag.* vol. 53, no. 1, pp. 82–90. DOI: 10.1109/TAP.2004.840523
9. LINTON, C. M., PORTER, R. and THOMPSON, I., 2007. Scattering by a semi-infinite periodic array and the excitation of surface waves. *SIAM J. Appl. Math.* vol. 67, no. 5, pp. 1233–1258. DOI: 10.1137/060672662
  10. CAMINITA, F., NANNETTI, M. and MACI, S., 2008. An efficient approach to the solution of a semi-infinite strip grating printed on infinite grounded slab excited by a surface wave. *XXIX URSI General Assembly. Chicago, IL, August 7-13, 2008*, BPS 2.5.
  11. CAPOLINO, F. and ALBANI, M., 2009. Truncation effects in a semi-infinite periodic array of thin strips: A discrete Wiener-Hopf formulation. *Radio Sci.* vol. 44, pp. 1223–1234. DOI: 10.1029/2007RS003821
  12. CHO, Y. H., 2011. Arbitrarily polarized plane-wave diffraction from semi-infinite periodic grooves and its application to finite periodic grooves. *Progr. Electromagn. Res. M (PIER M)*. vol. 18, pp. 43–54. DOI: 10.2528/PIERM11030111
  13. LYTVYENKO, L. M., REZNIK, I. I. and LYTVYENKO, D. L., 1991. Wave scattering by semi-infinite periodic structure. *Doklady AN Ukr. SSR*. no. 6, pp. 62–67 (in Russian).
  14. LYTVYENKO, L. M. and PROSVIRNIN, S. L., 2012. *Wave Diffraction by Periodic Multilayer Structures*. Cambridge: Cambridge Scientific Publishers.
  15. KALIBERDA, M. E., LITVINENKO, L. N. and POGARSKII, S. A., 2009. Operator method in the analysis of electromagnetic wave diffraction by planar screens. *J. Commun. Technol. Electron.* vol. 54, no. 9, pp. 975–981. DOI: 10.1134/S1064226909090010
  16. KALIBERDA, M. E., LYTVYENKO, L. N. and POGARSKY, S. A., 2011. Electrodynamics characteristics of multilayered system of plane screens with a slot. *Radio Physics and Radio Astronomy*. vol. 2, no. 4. pp. 339–344.
  17. LYTVYENKO, L. M., KALIBERDA, M. E. and POGARSKY, S. A., 2012. Solution of waves transformation problem in axially symmetric structures. *Frequenz*. vol. 66, no. 1-2, pp. 17–25. DOI: 10.1515/FREQ.2012.012
  18. VOROBYOV, S. N. and LYTVYENKO, L. M., 2011. Electromagnetic wave diffraction by semi-infinite strip grating. *IEEE Trans. Antennas Propag.* vol. 59, no. 6, pp. 2169–2177. DOI: 10.1109/TAP.2011.2143655
  19. KALIBERDA, M. E., LYTVYENKO, L. N. and POGARSKY, S. A., 2015. Diffraction of H-polarized electromagnetic waves by a multi-element planar semi-infinite grating. *Telecommunications and Radio Engineering*. vol. 74, no. 9, pp. 348–357. DOI: 10.1615/TelecomRadEng.v74.i9
  20. KALIBERDA M. E. and POGARSKY S. A., 2012. Operator method in a plane waveguide eigenmodes diffraction problem by finite and semiinfinite system of slots. In: *Int. Conf. on Mathematical Methods in Electromagnetic Theory (MMET) Proceedings*. Kharkov, Ukraine, pp. 130–133.
  21. LYTVYENKO, L. M., KALIBERDA, M. E. and POGARSKY, S. A., 2013. Wave diffraction by semi-infinite venetian blind type grating. *IEEE Trans. Antennas Propag.* vol. 61, no. 12, pp. 6120–6127. DOI: 10.1109/TAP.2013.2281510

## REFERENCES

1. FEL'D, Y. N., 1955. On infinite systems of linear algebraic equations connected with problems on semi-infinite periodic structures. *Doklady AN USSR*. vol. 102, no 2, pp. 257–260 (in Russian).
2. FEL'D, Y. N., 1958. Electromagnetic wave diffraction by semi-infinite grating. *Radiotekhnika i Elektronika*. vol. 3, no. 7, pp. 882–889 (in Russian).
3. HILLS, N. L. and KARP, S. N., 1965. Semi-infinite diffraction gratings. I. *Commun. Pure Appl. Math.* vol. 18, no. 1/2, pp. 203–233.
4. HILLS, N. L., 1965. Semi-infinite diffraction gratings. II. Inward resonance. *Commun. Pure Appl. Math.* vol. 18, no. 3, pp. 385–395.
5. WASYLKIWSKYJ, W., 1973. Mutual coupling effects in semi-infinite arrays. *IEEE Trans. Antennas Propag.* vol. 21, no. 3, pp. 277–285. DOI: 10.1109/TAP.1973.1140507
6. NISHIMOTO, M. and IKUNO, H., 1999. Analysis of electromagnetic wave diffraction by a semi-infinite strip grating and evaluation of end-effects. *Progr. Electromagn. Res. (PIER)*. vol. 23. pp. 39–58. DOI: 10.1163/156939399X01177
7. LINTON, C. M. and MARTIN, P. A., 2004. Semi-infinite arrays of isotropic point-scatterers. A unified approach. *SIAM J. Appl. Math.* vol. 64, pp. 1035–1056. DOI: 10.1137/S0036139903427891
8. NEPA, P., MANARA, G. and ARMOGIDA, A., 2005. EM scattering from the edge of a semi-infinite planar strip

22. NOSICH, A. A. and GANDEL, Y. V., 2007. Numerical analysis of quasioptical multireflector antennas in 2-D with the method of discrete singularities: E-wave case. *IEEE Trans. Antennas Propag.* vol. 55, no. 2, pp. 399–406. DOI: 10.1109/TAP.2006.889811
23. FELSEN, L. B. and MARCUVITZ, N., 1973. *Radiation and Scattering of Waves*. Englewood Cliffs, NJ: Prentice-Hall.

*M. E. Kaliberda*<sup>1</sup>, *L. M. Lytvynenko*<sup>2</sup>, and *S. A. Pogarsky*<sup>1</sup>

<sup>1</sup>V. Kazarin National University of Kharkiv, 4, Svoboda Sq., Kharkiv, 61022, Ukraine

<sup>2</sup>Institute of Radio Astronomy, National Academy of Sciences of Ukraine, 4, Chervonopraporna St., Kharkiv, 61002, Ukraine

#### OPERATOR METHOD IN THE INTERACTION PROBLEM OF THE SEMI-INFINITE VENETIAN BLIND-TYPE GRATING AND FINITE STRIP GRATING

The interaction problem of a semi-infinite venetian blind-type grating and finite strip grating is considered. The *H*-polarization case is studied. The problem solution is obtained by the operator method. The known reflection operators of the semi-infinite venetian blind-type grating and finite strip grating are used. The far field dependences are presented vs polar angle.

*Key words:* semi-infinite venetian blind-type grating, finite strip grating, operator method

*M. S. Kaliberda*<sup>1</sup>, *L. M. Lytvynenko*<sup>2</sup>, *S. O. Pogarskyi*<sup>1</sup>

<sup>1</sup>Харківський національний університет імені В. Н. Каразіна, пл. Свободи, 4, м. Харків, 61022, Україна

<sup>2</sup>Радіоастрономічний інститут НАН України, вул. Червонопрапорна, 4, м. Харків, 61002, Україна

#### ОПЕРАТОРНИЙ МЕТОД У ЗАДАЧІ ПРО ВЗАЄМОДІЮ НАПІВНЕСКІНЧЕНОЇ РЕШІТКИ ТИПУ ЖАЛЮЗІ ТА СКІНЧЕНОЇ РЕШІТКИ ЗІ СТРИЧОК

Розглянуто задачу про взаємодію напівнескінченної періодичної решітки типу жалюзі і скінченної решітки зі стрічок. Досліджено випадок *H*-поляризації. Розв'язок задачі отримано операторним методом. При цьому використано відомі оператори відбиття напівнескінченної решітки типу жалюзі і плоскої скінченної решітки. Наведено залежності відбитого поля у дальній зоні від полярного кута.

*Ключові слова:* напівнескінченна решітка типу жалюзі, скінченна решітка зі стрічок, операторний метод

*Статья поступила в редакцию 24.09.2015*